

長崎大学工学部 正倉 隆合 教授
同 学生員 尾崎 孝二

はじめに

砂のような粒状土の圧縮変形（こゝでは、破壊を起すことなく体積を減少させる変形を圧縮変形と呼ぶ）は、主として、土粒子間の摩擦による平衡状態の崩壊、すなわち土粒子間の摩擦力にもないより安全な位置へ土粒子が移動することによる塑性変形に起因するものであり、その圧縮変形はほぼす載荷時間の影響は無視できるほど小さい。側方拘束の一次元圧縮の場合、圧縮すべき土と載荷応力の関係として、著者らとくは初期密度を考慮した次の実験的に求めた式⁽¹⁾
$$\epsilon = a(n_i - n_0)\sigma^b \quad \text{--- (1)}$$

こゝに、 n_0 は最小空隙率と均等係数⁽²⁾によつて定まる定数、 n_i は初期空隙率、 a, b は材料定数である。一方、ある応力の繰返し載荷した場合は、載荷時間は無限と見ることができ、繰返ししたともなうその圧縮変形量は増大し、かつ、砂の場合には、10000回程度の繰返しには、静的載荷の場合の5倍以上の圧縮すべきを生じる。したがつて、砂地盤や粒状材料を用いた路盤などの次下計算には、繰返し荷重による砂の圧縮変形の挙動を把握しておく必要がある。本文では、側方拘束の一次元圧縮に限らず、繰返し荷重による砂の圧縮変形について実験的に検討するとともに、砂および飽和粘土についての既往の研究結果との比較を行ひ、繰返ししたともなう圧縮すべきの予測法について考察した。

試験方法

試験は通常の圧密試験科目任意の周期で繰返し載荷がでるよう改造した装置により行ひ、手圧圧密容器は載荷板の偏心の防止のためにガイド棒を有し、その寸法は直径6.0cm、高さ5.0cmである。繰返し周期は60秒（載荷・除荷各30秒）である。なお、初期状態は0.05kg/cm²の応力下での状態として設定し、除荷時にこれにこの応力が材料に加つてゐる。

試験結果および考察

図-1は圧縮すべき ϵ と繰返し載荷回数 N との関係を示す一例であり、 N の増加とともに ϵ が増加することから知られる。このようにならぬと N の増減として、八木ら⁽²⁾は $N=10$ 程度の試験結果から次の提案してゐる。

$$\epsilon = N / (a' + b'N) \quad \text{--- (2)}$$

この(2)式は N/ϵ と N の直線関係にあることを示してあり、またその直線の傾きの逆数 $(1/b')$ が $N=0$ における ϵ とすべきとすることになる。図-2は N/ϵ と N の関係を示す試験結果を整理したものである。 $N=10$ 程度までの八木らの試験結果と同様にすなわち良好な直線関係が認められ、これ以上になると直線関係から大きくはずれる。

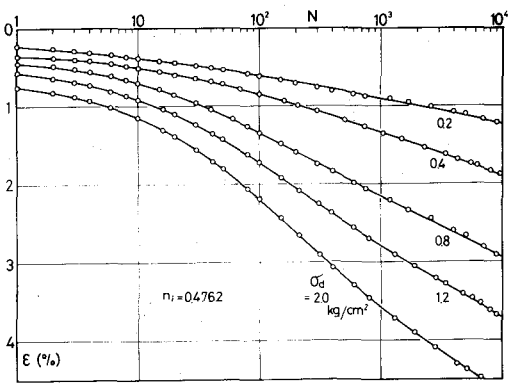


図-1 $\epsilon - N$ 関係

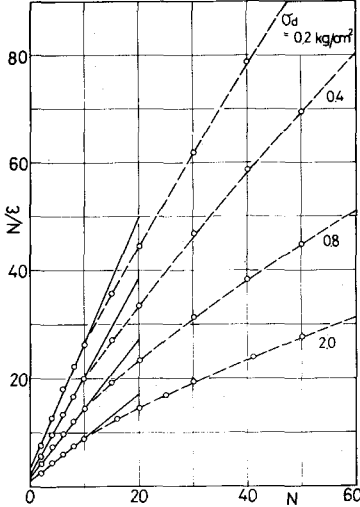


図-2 $N/\epsilon - N$ 関係

(2)式の表示はさきほ。したがって、(2)式の双曲線表示を行なえば、 $N=10$ 程度の実験結果から繰返しにより最終圧縮率 ε と N の相違を導き出して、この八本の直線は実験結果と着しく一致している。ところで、(1)式は圧縮率 ε と N の静的載荷 σ_0 の比に比例して増加することを示しているが、繰返し載荷の場合には載荷回数 N による圧縮率 ε が増加するので、 σ_0 のみならず N を用いると ε と N の関係を両対数紙上に直線関係にあることになる。図-3は ε と N の関係を両対数紙上に表示した結果であり、1つの変曲点をもち2本の良好な直線関係にあることがわかる。したがって、各直線部分に対して(1)式と類似の式が成立すると考えられる。

$$\varepsilon = A(N_i - N_0)N^B \quad \text{--- (3)}$$

(3)式の变形して、 $\varepsilon/N = A(N_i - N_0)N^{B-1}$ とすれば、 ε/N と N の関係も両対数紙上に2本の直線関係にあることになるが、山内ら⁽³⁾は飽和粘土について全く同一の実験結果を得ている。このことは繰返し荷重を受けた砂と飽和粘土の圧縮变形挙動の類似性を示しているものと考えられる。山内らは変曲点をもち2本の一次圧縮領域を以て二次圧縮領域とし、それぞれ領域に対して Roscoe-Burland 則と Mitchell 式を利用して ε と N の予測法を提案しているが、砂の場合には一次圧縮、二次圧縮と二つを考慮する方が物理的意味が明確でなく、むしろ各直線部分に対して(3)式の定数 A, B を別個に求め、(3)式から ε と N の予測を行えば、方が簡便である。また、(3)式では繰返し率 σ_0 の影響を考慮してはならないが、同じ考慮すると、Mitchell 式との類似性から次式の成立が予想される。

図-3 $\varepsilon - N$ 関係

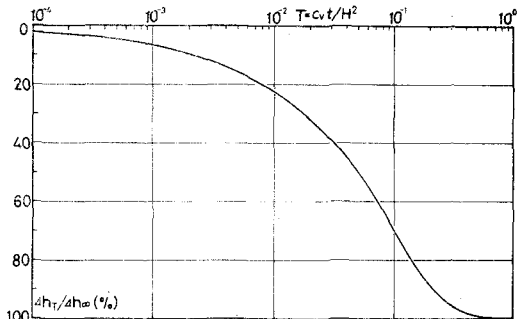
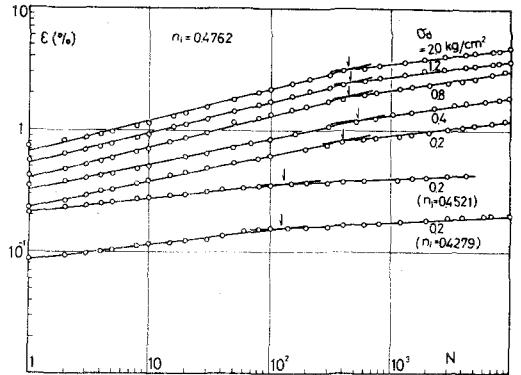


図-4 沈下比-時間係数曲線

なお、図-1の実験結果は、飽和粘土の一次元圧縮における沈下-時間係数曲線ともよく類似している。たとえば、 ε と N に相当する三つの圧縮率 σ_0 $\partial\varepsilon/\partial t = C_v \cdot \partial^2\varepsilon/\partial z^2$ と、 $t=0: \varepsilon=0, \varepsilon=0: \varepsilon=\varepsilon_0, \varepsilon=H: \varepsilon=0$ の条件で解き、沈下比 $4h_t/4h_0$ と時間係数 $T = C_v t/H^2$ の関係を図示すると図-4のような対り、図-1の実験結果と類似している。このことは、角がキ水が移動に基づき飽和粘土の圧縮変形を、繰返し荷重による砂塊中の角がキ濃度の拡散による変形と考へ、さらば時間 t を繰返し回数 N におきかえれば、飽和粘土の圧縮理論を繰返し荷重による砂の圧縮変形に適用できることも可能であることを示しているものと考えられる。

$$\varepsilon = A' (N_i - N_0) \cdot \exp(\sigma_0) \cdot N^B \quad \text{--- (4)}$$

なお、図-1の実験結果は、飽和粘土の一次元圧縮における沈下-時間係数曲線ともよく類似している。たとえば、 ε と N に相当する三つの圧縮率 σ_0 $\partial\varepsilon/\partial t = C_v \cdot \partial^2\varepsilon/\partial z^2$ と、 $t=0: \varepsilon=0, \varepsilon=0: \varepsilon=\varepsilon_0, \varepsilon=H: \varepsilon=0$ の条件で解き、沈下比 $4h_t/4h_0$ と時間係数 $T = C_v t/H^2$ の関係を図示すると図-4のような対り、図-1の実験結果と類似している。このことは、角がキ水が移動に基づき飽和粘土の圧縮変形を、繰返し荷重による砂塊中の角がキ濃度の拡散による変形と考へ、さらば時間 t を繰返し回数 N におきかえれば、飽和粘土の圧縮理論を繰返し荷重による砂の圧縮変形に適用できることも可能であることを示しているものと考えられる。

あとをき

砂は繰返し荷重を作用させると、繰返しにともなう非常に大きな圧縮変形を生じ、砂地盤や粒状材料を用いた路盤などの沈下計算には、繰返し回数 N と圧縮率 ε の関係を知ることは必須で、 ε と N の関係は、本文では実験結果と既往の研究成果と比較を行なっている。また、 N と ε の関係に双曲線表示を用いることは、砂と飽和粘土とは異なる変形挙動に基づきおこす類似していることを示し、 $N - \varepsilon$ 関係を予測するに、よりよい方法を示した。今後、さらば詳細な実験結果と比較を行なう、これらのデータを整理し、その表示方法を求めたい。

参考文献

(1) 落合 (1975): 土工学会論文報告集, 第15巻, 第2号 (2) 八木, 西田, 文内 (1976): 第11回土工学会研究発表会。
 (3) 山内, 安原, 菊園 (1976): 第11回土工学会研究発表会, 山内, 安原, 菊園 (1976): 第31回土工学会年次講演会 付録。